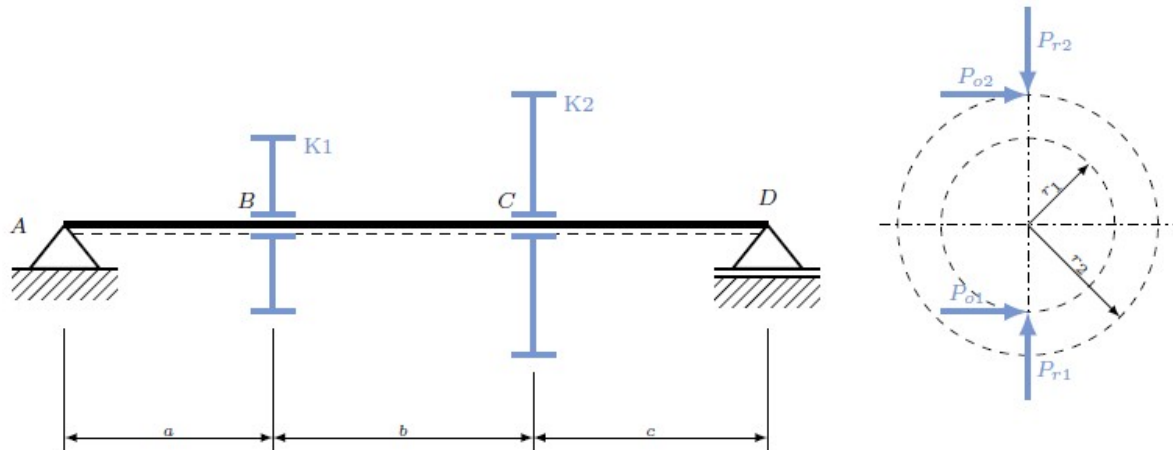
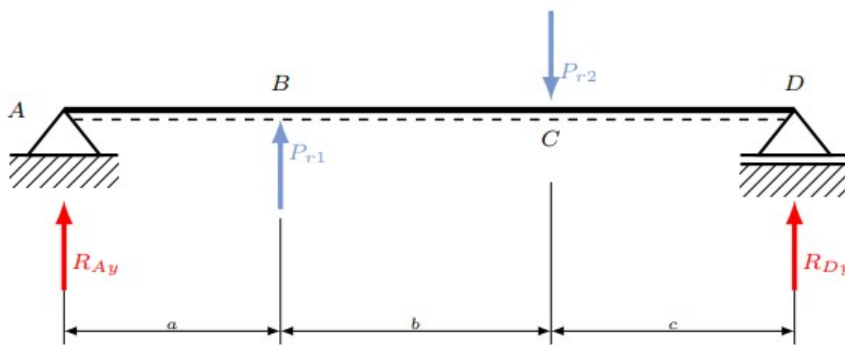


Obliczyć średnicę wałka w miejscach osadzenia kół zębatych (Rys. 1). Wał jest obciążony siłami międzyzębnymi przekładni zębatej walcowej o zębach prostych. Na koło 1 działają siły: odwodowa $P_{o1} := 11950 \text{ N}$ i promieniowa $P_{r1} := 4350 \text{ N}$, na koło 2 odpowiednio: $P_{o2} := 5370 \text{ N}$ i $P_{r2} := 1950 \text{ N}$. Obliczenia należy wykonać dla następujących wymiarów: $r_2 := 160 \text{ mm}$, $a := 80 \text{ mm}$, $b := 100 \text{ mm}$, $c := 90 \text{ mm}$. Wał wykonano ze stali C45, dla której: $k_{go} := 78 \text{ MPa}$, $k_{sj} := 95 \text{ MPa}$.



Rys. 1 Szkic projektowanej belki



Rys. 2 Schemat obliczeniowy belki w płaszczyźnie XY

Korzystając z Rys. 2 zapisano równania równowagi:

$$\begin{aligned} -R_{Ay} - P_{r1} + P_{r2} - R_{Dy} &= 0 \\ -P_{r1} \cdot a + P_{r2} \cdot (a + b) - R_{Dy} \cdot (a + b + c) &= 0 \end{aligned}$$

Równania można przekształcić do postaci macierzowej:

$$\begin{bmatrix} -1 & -1 \\ 0 & -(a + b + c) \end{bmatrix} \cdot \begin{bmatrix} R_{Ay} \\ R_{Dy} \end{bmatrix} = \begin{bmatrix} P_{r1} - P_{r2} \\ P_{r1} \cdot a - P_{r2} \cdot (a + b) \end{bmatrix}$$

stąd (po doprowadzeniu macierzy do tych samych jednostek):

$$\begin{bmatrix} R_{Ay} \\ R_{Dy} \end{bmatrix} := \begin{bmatrix} -1 & -1 \\ 0 & \frac{-(a + b + c)}{\text{mm}} \end{bmatrix}^{-1} \cdot \begin{bmatrix} P_{r1} - P_{r2} \\ \frac{P_{r1} \cdot a - P_{r2} \cdot (a + b)}{\text{mm}} \end{bmatrix} = \begin{bmatrix} -2411.111 \\ 11.111 \end{bmatrix} \text{ N}$$

Reakcje wynoszą odpowiednio $R_{Ay} = -2411.11 \text{ N}$, $R_{Dy} = 11.11 \text{ N}$. Dane potrzebne do wyznaczenia przebiegu momentu gnącego zostały zebrane w tabeli (Tab. 1).

Tab. 1 Zestawienie danych do wyznaczenia momentu gnącego

Przedział	Wzór	Wartość
$x = 0$		0 Nm
$x \in (0, a)$	$R_{Ay} \cdot x$	
$x = a$		$-192,88 \text{ Nm}$
$x \in (a, a + b)$	$R_{Ay} \cdot x + P_{r1} \cdot (x - a)$	
$x = a + b$		$1,0 \text{ Nm}$
$x \in (a + b, a + b + c)$	$R_{Ay} \cdot x + P_{r1} \cdot (x - a) - P_{r2} \cdot (x - a - b)$	
$x = a + b + c$		0 Nm

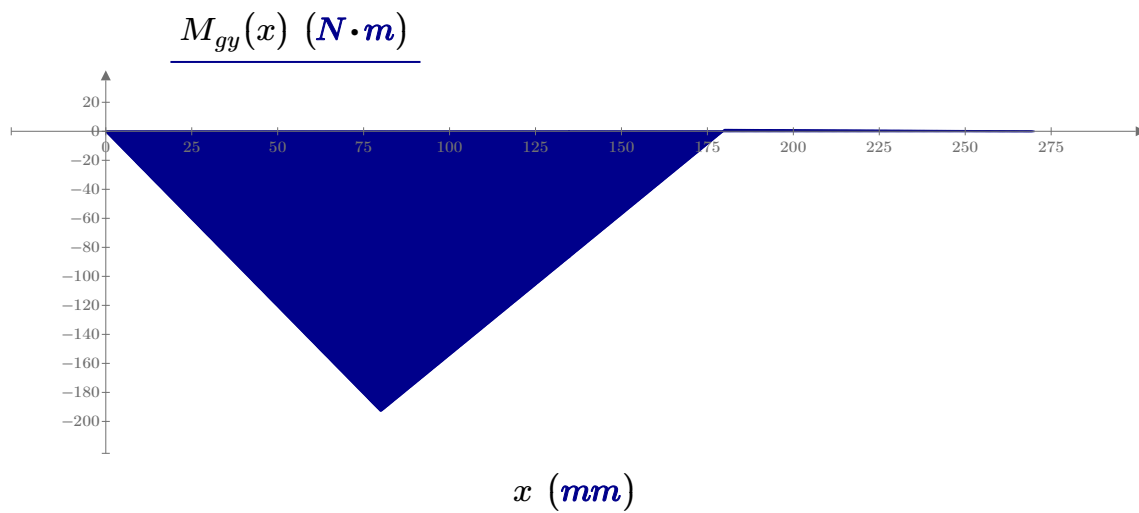
$$M_{gy1}(x) := (R_{Ay} \cdot x) \cdot (0 \leq x < a)$$

$$M_{gy2}(x) := (R_{Ay} \cdot x + P_{r1} \cdot (x - a)) \cdot (a \leq x < a + b)$$

$$M_{gy3}(x) := (R_{Ay} \cdot x + P_{r1} \cdot (x - a) - P_{r2} \cdot (x - a - b)) \cdot (a + b \leq x < a + b + c)$$

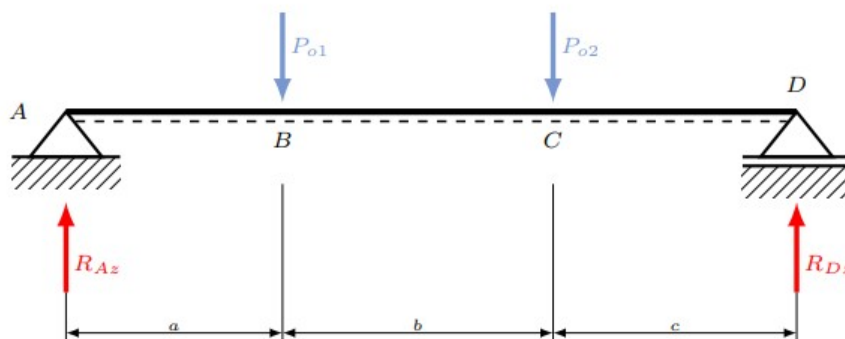
$$M_{gy}(x) := M_{gy1}(x) + M_{gy2}(x) + M_{gy3}(x)$$

Wykres (Rys. 3) został przygotowany dla $x := 0, 0.001 \cdot (a + b + c) .. (a + b + c)$



Rys. 3 Wykres momentu gnącego w płaszczyźnie XY

Analogiczne obliczenia zostały wykonane w płaszczyźnie XZ. Korzystając ze schematu (Rys. 4) zapisano równania równowagi.



Rys. 4 Schemat obliczeniowy belki w płaszczyźnie XZ

$$\begin{aligned} R_{Az} - P_{o1} - P_{o2} + R_{Dz} &= 0 \\ P_{o1} \cdot a + P_{o2} \cdot (a + b) - R_{Dz} \cdot (a + b + c) &= 0 \end{aligned}$$

Równania można przekształcić do postaci macierzowej:

$$\begin{bmatrix} 1 & 1 \\ 0 & -(a + b + c) \end{bmatrix} \cdot \begin{bmatrix} R_{Az} \\ R_{Dz} \end{bmatrix} = \begin{bmatrix} P_{o1} + P_{o2} \\ -P_{o1} \cdot a - P_{o2} \cdot (a + b) \end{bmatrix}$$

stąd (po doprowadzeniu macierzy do tych samych jednostek):

$$\begin{bmatrix} R_{Az} \\ R_{Dz} \end{bmatrix} := \begin{bmatrix} 1 & 1 \\ 0 & \frac{-(a + b + c)}{\text{mm}} \end{bmatrix}^{-1} \cdot \begin{bmatrix} P_{o1} + P_{o2} \\ \frac{-P_{o1} \cdot a - P_{o2} \cdot (a + b)}{\text{mm}} \end{bmatrix} = \begin{bmatrix} 10199.259 \\ 7120.741 \end{bmatrix} \text{ N}$$

Reakcje wynoszą odpowiednio $R_{Az} = 10199.26 \text{ N}$, $R_{Dz} = 7120.74 \text{ N}$. Dane potrzebne do wyznaczenia przebiegu momentu gnącego zostały zebrane w tabeli (Tab. 2).

Tab. 2 Zestawienie danych do wyznaczenia momentu gnącego

Przedział	Wzór	Wartość
$x = 0$		0 Nm
$x \in (0, a)$	$R_{Az} \cdot x$	
$x = a$		815,94 Nm
$x \in (a, a + b)$	$R_{Az} \cdot x - P_{o1} \cdot (x - a)$	
$x = a + b$		640,87 Nm
$x \in (a + b, a + b + c)$	$R_{Az} \cdot x - P_{o1} \cdot (x - a) - P_{o2} \cdot (x - a - b)$	
$x = a + b + c$		0 Nm

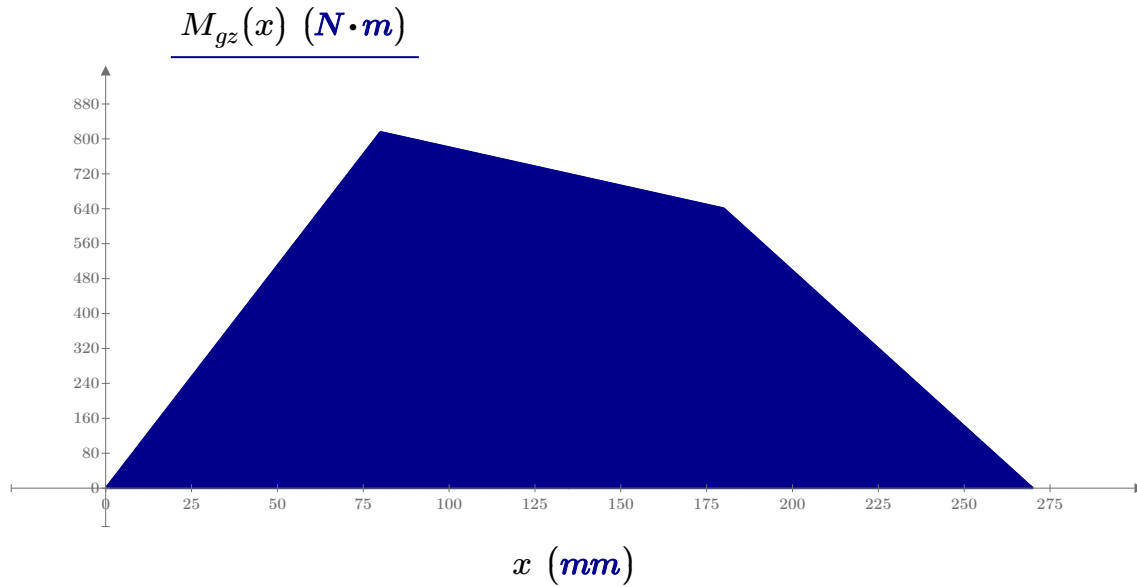
$$M_{gz1}(x) := (R_{Az} \cdot x) \cdot (0 \leq x < a)$$

$$M_{gz2}(x) := (R_{Az} \cdot x - P_{o1} \cdot (x - a)) \cdot (a \leq x < a + b)$$

$$M_{gz3}(x) := (R_{Az} \cdot x - P_{o1} \cdot (x - a) - P_{o2} \cdot (x - a - b)) \cdot (a + b \leq x < a + b + c)$$

$$M_{gz}(x) := M_{gz1}(x) + M_{gz2}(x) + M_{gz3}(x)$$

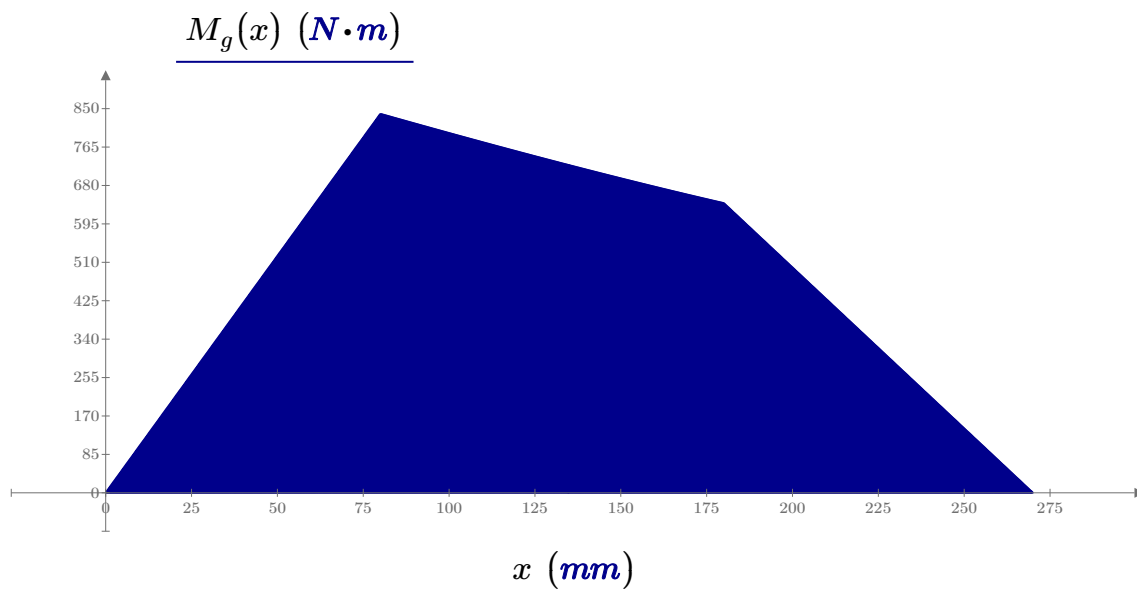
Wykres (Rys. 5) przedstawia przebieg momentu gnącego w płaszczyźnie XZ.



Rys. 5 Wykres momentu gnącego w płaszczyźnie XZ

Wypadkowy moment gnący wynosi (Rys. 6):

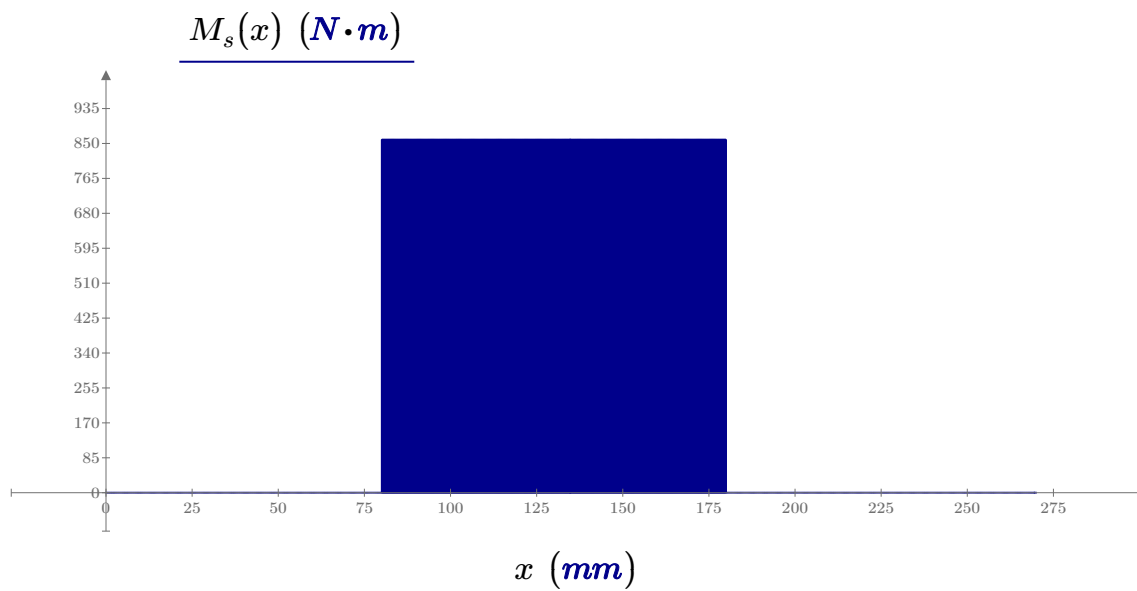
$$M_g(x) := \sqrt{(M_{gy}(x))^2 + (M_{gz}(x))^2}$$



Rys. 6 Wykres wypadkowego momentu gnącego

Wał jest skręcany stałym momentem skręcającym (Rys. 7) na odcinku BC, który wynosi:

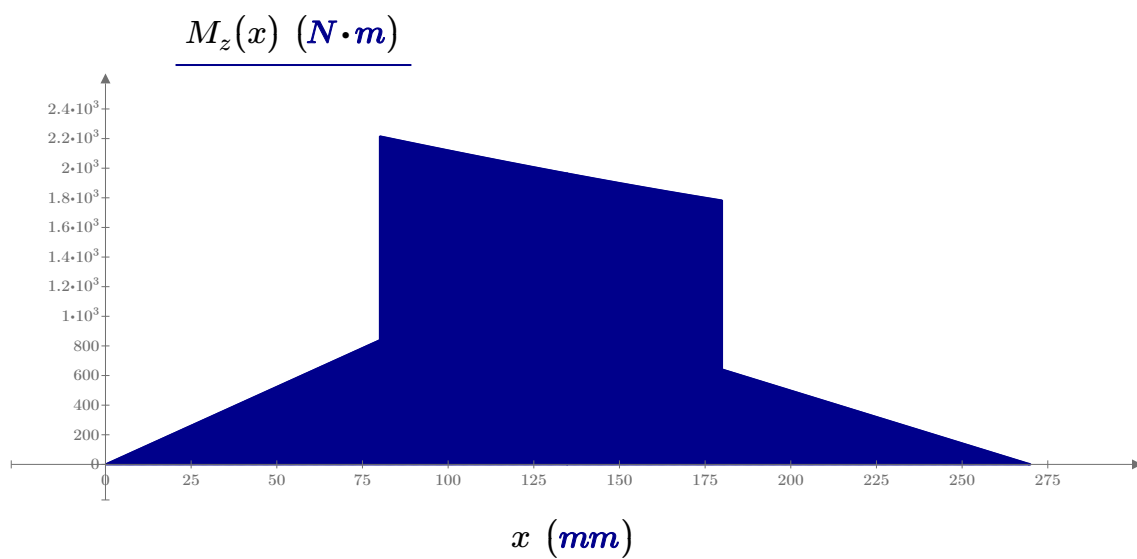
$$M_s(x) := (P_{o2} \cdot r_2) \cdot (a \leq x \leq a+b)$$



Rys. 7 Wykres momentu skręcającego

Zastępczy moment działający na ten układ może być wyznaczony z następującego warunku, gdyż $M_g < 2 M_s$ (odcinek BC). Przebieg momentu pokazano na Rys. 8.

$$M_z(x) := \sqrt{\left(\frac{2 \cdot k_{sj}}{k_{go}} \cdot M_g(x)\right)^2 + (M_s(x))^2 \cdot ((a \leq x \leq a+b)) + M_g(x) \cdot (0 \leq x < a) + M_g(x) \cdot (a+b < x \leq a+b+c)}$$



Rys. 8 Wykres momentu zastępczego

Średnice wału w miejscach osadzenia kół zębatach wynoszą:

$$d_B := \sqrt[3]{\frac{16 \cdot M_z(a)}{\pi \cdot k_{sj}}} = 49.157 \text{ mm} \qquad d_C := \sqrt[3]{\frac{16 \cdot M_z(a+b)}{\pi \cdot k_{sj}}} = 45.713 \text{ mm}$$

Ostatecznie przyjęto średnice:

$$D_B := \left(\text{floor} \left(\frac{d_B}{\text{mm}} \right) + 1 \right) \text{ mm} = 50 \text{ mm} \qquad D_C := \left(\text{floor} \left(\frac{d_C}{\text{mm}} \right) + 1 \right) \text{ mm} = 46 \text{ mm}$$